

## บทที่ 4

### การประยุกต์ใช้

ในปัจจุบันการศึกษาเทคโนโลยีด้านการหล่อโลหะมีการวิจัยและพัฒนาเก็บอุ่นแพร่หลายในนานาประเทศ โดยกระบวนการหล่อโลหะแบบฉีด (Die Casting) เป็นกระบวนการที่นิยมใช้ในการขึ้นรูปในอุตสาหกรรมขนาดย่อม แต่เนื่องจากกระบวนการหล่อแบบฉีดนั้นมีข้อจำกัดในการผลิต เนื่องจากพบข้อบกพร่องในชิ้นงาน คือ ชิ้นงานจะเกิดรูพรุน (Porosity) หรือ โพรงอากาศ ซึ่งส่งผลให้สมบัติเชิงกลของชิ้นงานลดลง และทำให้มีข้อจำกัดในการผลิตชิ้นส่วนที่ต้องรับแรงมากไม่ได้ แนวทางหนึ่งที่จะช่วยลดข้อบกพร่องดังกล่าวได้คือ การหล่อโลหะแบบกึ่งของแข็ง (Semi-Solid Casting) เนื่องจากการหล่อแบบนี้จะทำให้การไหลของโลหะกึ่งของแข็งมีการไหลแบบร้อนเรียน ซึ่งทำให้รูพรุนลดลง ดังนั้นกระบวนการหล่อโลหะแบบกึ่งของแข็งจึงถูกพัฒนาขึ้น และในปัจจุบันได้มีการนำเทคโนโลยีนี้มาใช้มากขึ้นทั่วโลก เช่น ในอเมริกา ยุโรป เกาหลีใต้ และในประเทศไทยก็เริ่มมีการวิจัยและศึกษากระบวนการหล่อโลหะกึ่งของแข็ง เพื่อนำไปใช้งานในอุตสาหกรรมภายในประเทศ

งานวิจัยนี้ได้ประยุกต์ใช้เทคนิค Rapid Quenching Mold ในการศึกษาต่าง ๆ เพื่อพัฒนากระบวนการหล่อ Semi-Solid Die Casting ในประเทศไทย ซึ่งการศึกษาต่าง ๆ มีขั้นตอนดังนี้

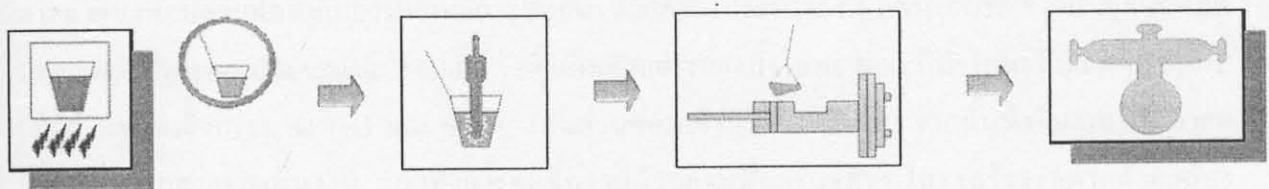
#### 4.1 ขั้นตอนการวิจัย

##### 4.1.1 การศึกษาสัดส่วนของแข็งและโครงสร้างจุลภาคภายใน Shot Sleeve เพื่อหาอุณหภูมิของ Shot Sleeve ที่เหมาะสมกับการขึ้นรูปโลหะกึ่งของแข็งด้วยแม่พิมพ์ Die Casting

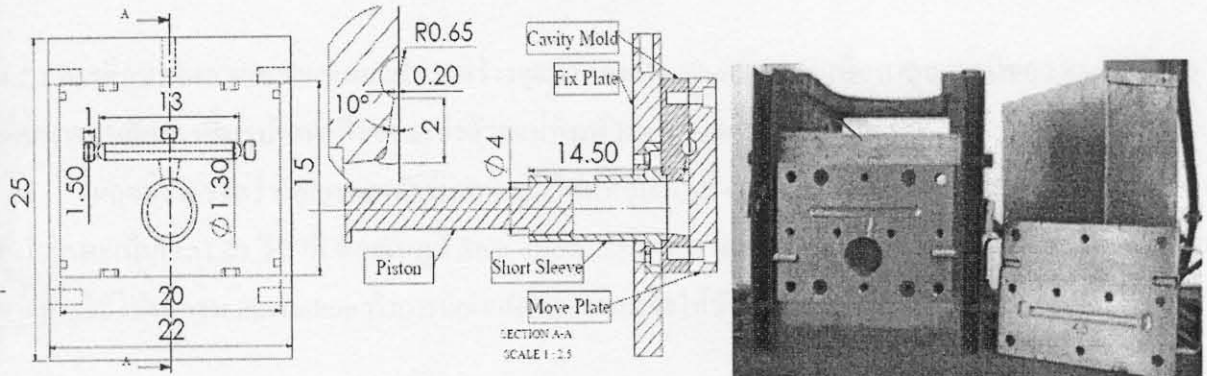
เพื่อให้ทราบถึงอุณหภูมิของ Shot Sleeve ที่เหมาะสมกับการขึ้นรูปโลหะกึ่งของแข็งด้วยแม่พิมพ์ Die Casting จึงจำเป็นต้องศึกษาสัดส่วนของแข็งและโครงสร้างจุลภาคภายใน Shot Sleeve ซึ่งทำได้โดยนำน้ำโลหะปริมาณ 1 กิโลกรัมที่ผ่านกรรมวิธีผลิตโลหะกึ่งของแข็งโดยการปล่อยฟองแก๊สที่ 20 วินาที เทลงใน Shot sleeve ที่อุณหภูมิ  $250^{\circ}\text{C}$   $300^{\circ}\text{C}$  และ  $350^{\circ}\text{C}$  ตามลำดับ แล้วจุ่มแม่พิมพ์ทองแดง (Copper Quenching Mold) เพื่อกีบตัวอย่างและเพื่อศึกษาผลของเวลาโลหะกึ่งของแข็งที่อยู่ใน Shot Sleeve ต่อโครงสร้างจุลภาค นอกจากนี้ได้ทำการทดลองโดยเทโลหะกึ่งของแข็งที่อุณหภูมิ Shot sleeve  $350^{\circ}\text{C}$  ปล่อยน้ำโลหะทึ่งไว้เป็นเวลา 15 15 20 และ 25 วินาที ตามลำดับ แล้วจุ่มแม่พิมพ์ทองแดง (Copper Quenching Mold) เพื่อกีบตัวอย่าง ชิ้นมาอีกครั้ง หลังจากนั้นจึงนำชิ้นงานที่ได้มาตัดబริเวณส่วนกลางของชิ้นงาน และทำการเตรียมตัวอย่างชิ้นงาน เพื่อใช้ในการตรวจสอบโครงสร้างจุลภาคด้วยกล้องจุลทรรศน์ (Optical Microscope)

#### 4.1.2 การหล่อฉีดโลหะกึ่งของแข็ง (Semi-Solid Metal Die Casting)

สำหรับการทดลองนี้ เป็นการศึกษาโครงสร้างทางจุลภาค และพื้นผิวของชิ้นงานอะลูมิเนียมพสม ADC10 โดยการหล่อฉีดโลหะแบบกึ่งของแข็งของโลหะอะลูมิเนียมพสมซิลิกอนและทองแดง ซึ่งได้ทำการออกแบบแม่พิมพ์ที่ใช้ในการขึ้นรูปชิ้นงานดังแสดงในรูปที่ 4-2



รูปที่ 4-1 แสดงขั้นตอนการหล่อฉีดโลหะกึ่งของแข็ง



รูปที่ 4-2 แสดงลักษณะของแม่พิมพ์ Die Casting (หน่วยเซนติเมตร)

การศึกษาการฉีดโลหะกึ่งของแข็งด้วยแม่พิมพ์ Die Casting และวิเคราะห์พื้นผิวของชิ้นงานหลังการหล่อขึ้นรูป โดยทำการเปรียบเทียบชิ้นงานที่หล่อแบบน้ำโลหะและหล่อแบบกึ่งของแข็ง ในการทดลองจะประกอบแม่พิมพ์เข้ากับเครื่องอัดไฮดรอลิกแล้วทำการหลอมโลหะที่อุณหภูมิ  $640^{\circ}\text{C}$  และผลิตโลหะกึ่งของแข็งโดยการอุ่นแท่งเกรดไฟฟ์ที่อุณหภูมิ  $610^{\circ}\text{C}$  เป็นเวลา 9 วินาที จากนั้นเทน้ำโลหะและโลหะกึ่งของแข็งลงใน Shot sleeve ที่มีอุณหภูมิประมาณ  $350^{\circ}\text{C}$  แล้วทำการฉีดขึ้นรูปที่อุณหภูมิแม่พิมพ์ประมาณ  $300^{\circ}\text{C}$  ซึ่งในการหล่อชิ้นงานแต่ละครั้งจะใช้โลหะประมาณ 250 กรัม หลังจากนั้นนำชิ้นงานที่ได้ไปวิเคราะห์พื้นผิวของชิ้นงาน โครงสร้างจุลภาค และทำการทดสอบสมบัติเชิงกลโดยการทดสอบความแข็งแรงดึง (Tensile strength)

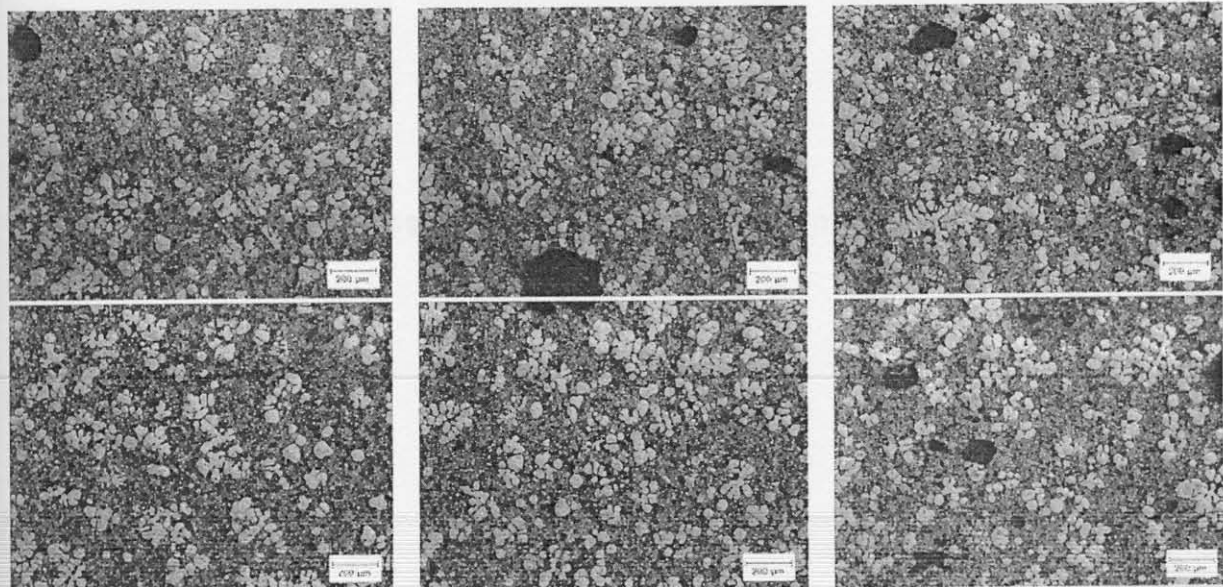
#### 4.1.3 การศึกษาสมบัติพื้นฐานของกระบวนการผลิตโลหะกึ่งของแข็งด้วยกรรมวิธีปล่อยฟองแก๊สระหว่างการแข็งดัว

เพื่อศึกษาผลของการเย็นดัวต่อโครงสร้างจุลภาค และเพื่อเชิงข้อมูลในการเกิดเหตุการณ์ก้อนกลมได้ทำการประยุกต์ใช้ Rapid Quenching Mold ในกระบวนการศึกษา โดยทำการทดลองเริ่มด้วยการหลอมอะลูминียม A356 ที่อุณหภูมิ  $700^{\circ}\text{C}$  กิโลกรัม จากนั้นจุ่มแท่งเกรไฟต์ลงไปในน้ำโลหะที่อุณหภูมิ  $620^{\circ}\text{C}$  และ  $670^{\circ}\text{C}$  ตามลำดับ เพื่อปล่อยฟองแก๊สออกจากอุณหภูมิ  $450^{\circ}\text{C}$  ออกมาก ด้วยอัตราประมาณ 4.5 ลิตรต่อนาที จากนั้นจุ่มแม่พิมพ์ทองแดง (Copper Quenching Mold) เพื่อกีบตัวอย่างของน้ำโลหะ ขณะที่น้ำโลหะมีอุณหภูมิ  $610^{\circ}\text{C}$  (สัดส่วนของแข็งประมาณ 7%) และ  $608^{\circ}\text{C}$  (สัดส่วนของแข็งประมาณ 11%) จากนั้นนำชิ้นงานที่ได้มาตัดบริเวณส่วนกลางของชิ้นงาน แล้วทำการขัดชิ้นงานตัวอย่างเพื่อตรวจสอบโครงสร้างจุลภาคด้วยกล้องจุลทรรศน์ (Optical Microscope)

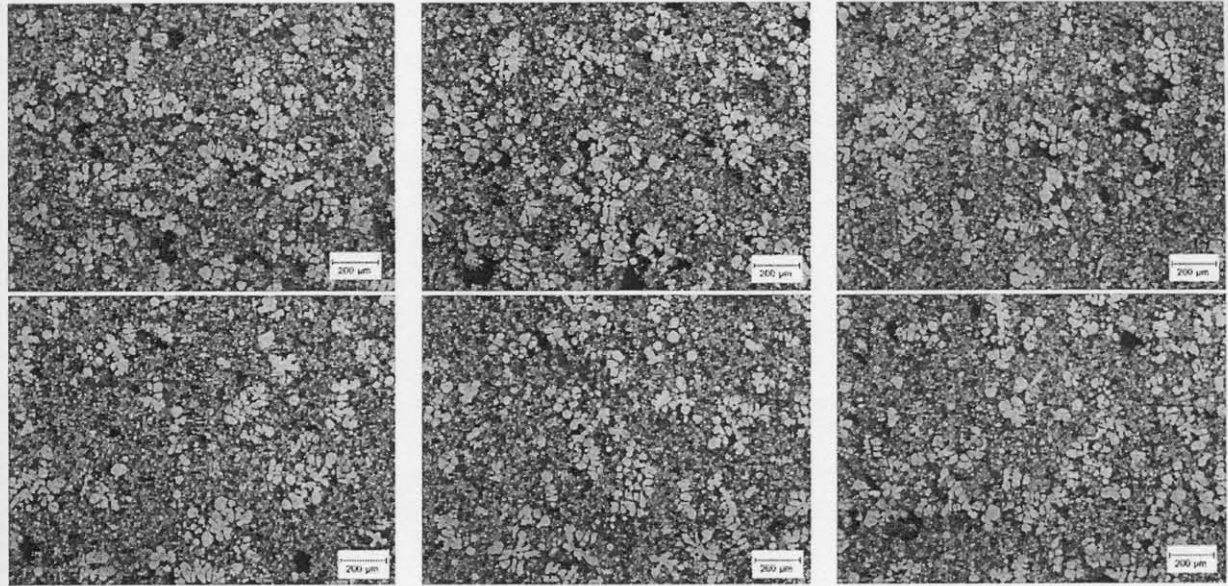
#### 4.2 ผลการวิจัย

##### 4.2.1 การศึกษาสัดส่วนของแข็งและโครงสร้างจุลภาคภายใน Shot Sleeve เพื่อหาอุณหภูมิของ Shot Sleeve ที่เหมาะสมกับการขึ้นรูปโลหะกึ่งของแข็งด้วยแม่พิมพ์ Die Casting

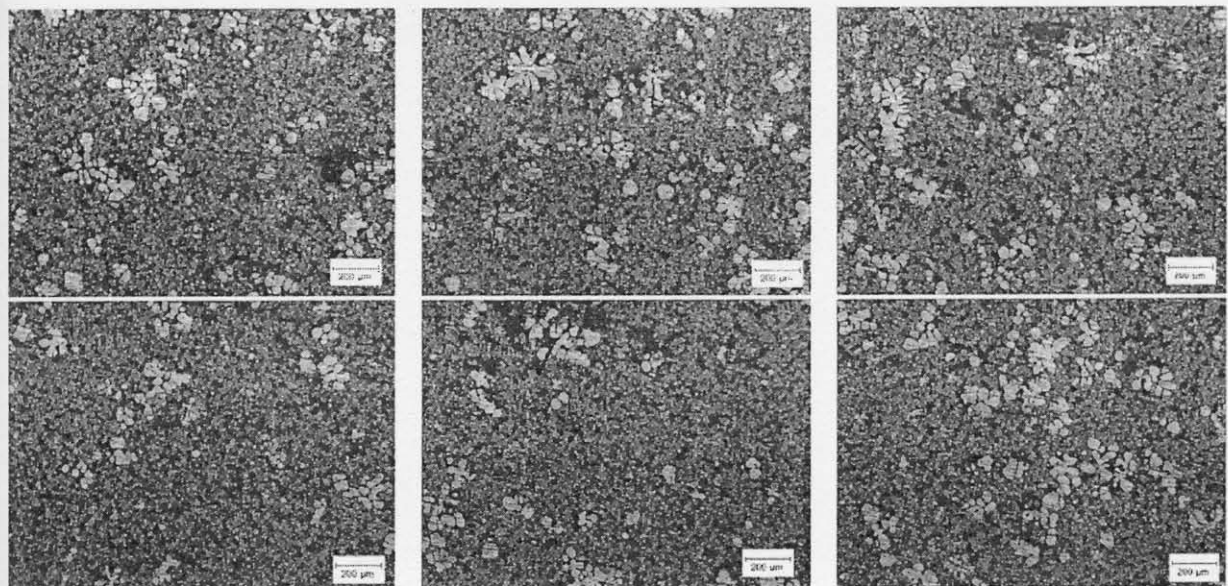
ผลของโครงสร้างจุลภาคหลังจุ่มแท่งเกรไฟต์ที่อุณหภูมิ  $600^{\circ}\text{C}$  แล้วปล่อยให้ฟองก๊าซเล็ก ๆ ไหลลงสู่น้ำโลหะเป็นเวลา 20 วินาที ที่อุณหภูมิ Shot sleeve 250, 300 และ  $350^{\circ}\text{C}$  แสดงในรูปที่ (4-3) – (4-5) ผลจากการใช้โปรแกรม Photoshop ทำการแยกเฟลชของแข็งให้ชัดเจนแสดงในรูปที่ (4-6) – (4-8)



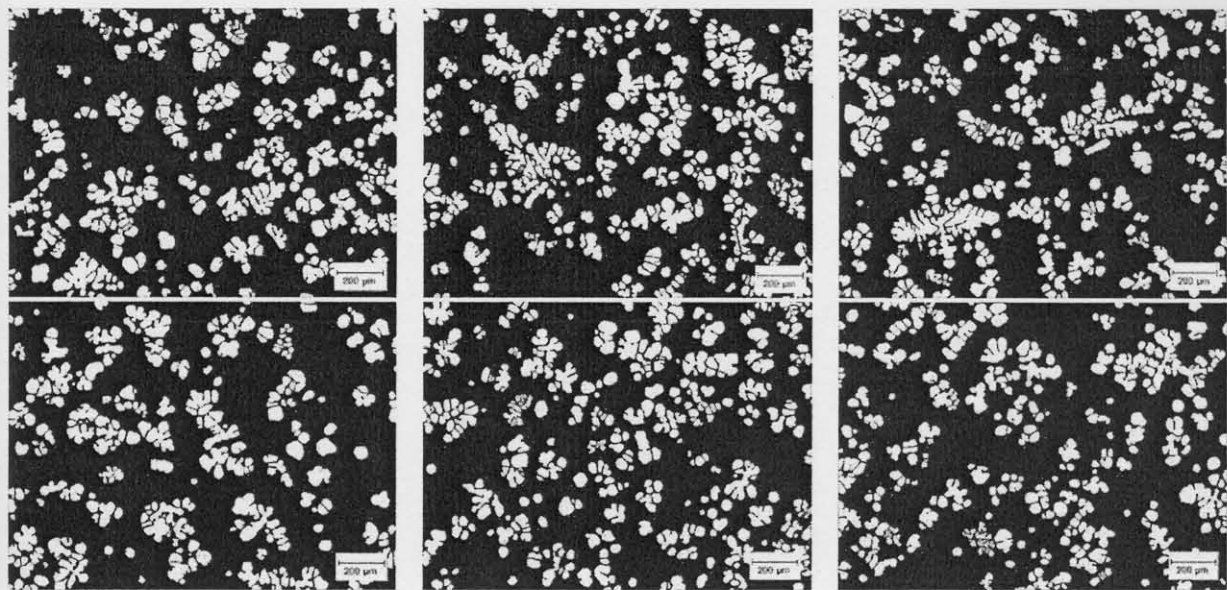
รูปที่ 4-3 โครงสร้างจุลภาคหลังจากจุ่มแท่งเกรไฟต์เป็นเวลา 20 วินาที ที่อุณหภูมิ Shot sleeve  $250^{\circ}\text{C}$



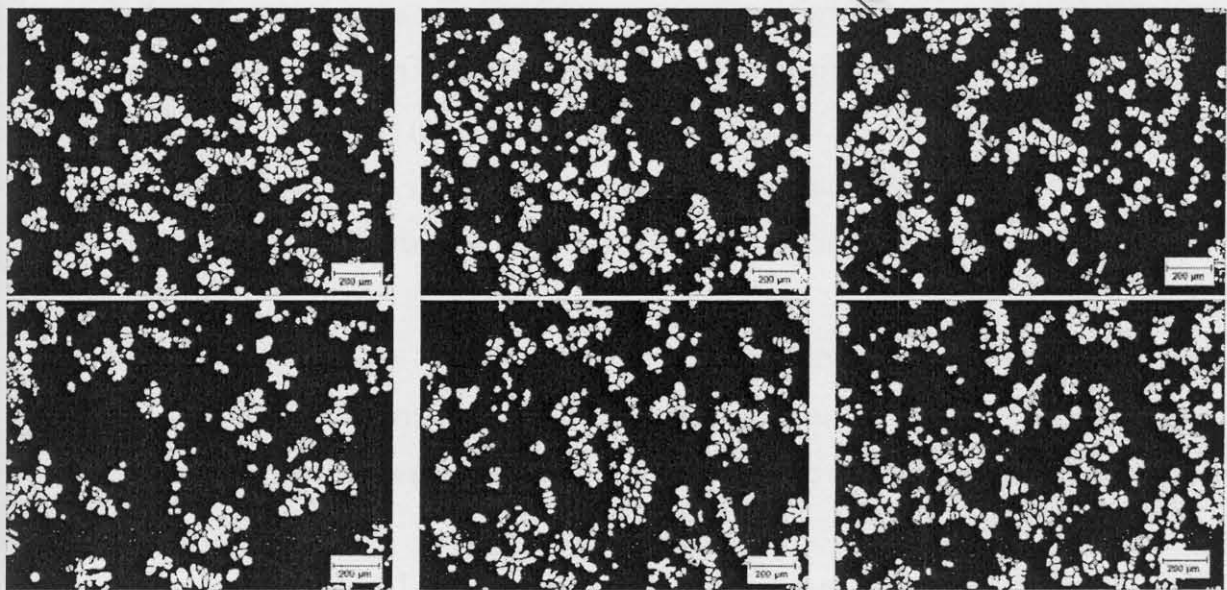
รูปที่ 4-4 โครงสร้างจุลภาคหลังจากหุ่มแท่งเกร ไฟต์เป็นเวลา 20 วินาที ที่อุณหภูมิ Shot sleeve 300°C



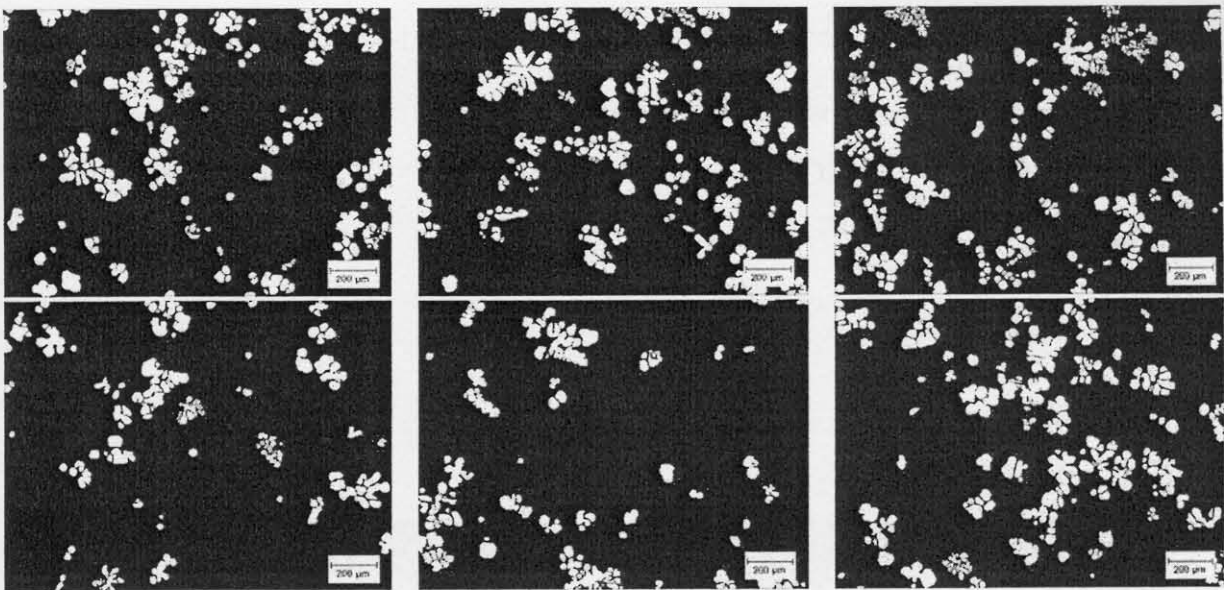
รูปที่ 4-5 โครงสร้างจุลภาคหลังจากหุ่มแท่งเกร ไฟต์เป็นเวลา 20 วินาที ที่อุณหภูมิ Shot sleeve 350°C



รูปที่ 4-6 โครงสร้างจุลภาคหลังจากจุ่นแท่งเกร ไฟต์เป็นเวลา 20 วินาที ที่อุณหภูมิ Shot sleeve 250°C



รูปที่ 4-7 โครงสร้างจุลภาคหลังจากจุ่นแท่งเกร ไฟต์เป็นเวลา 20 วินาที ที่อุณหภูมิ Shot sleeve 300°C



รูปที่ 4-8 โครงสร้างจุลภาคหลังจากจุ่มแท่งเกร็ฟไฟด์เป็นเวลา 20 วินาที ที่อุณหภูมิ Shot sleeve 350°C

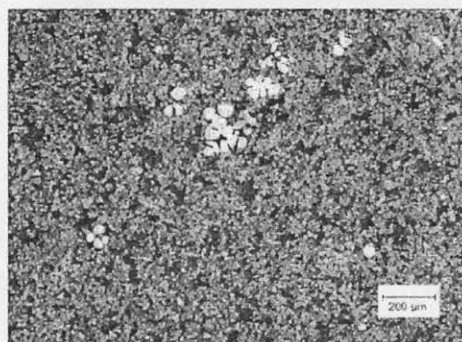
ผลการวิเคราะห์หาสัดส่วนของแข็งโดยใช้โปรแกรม Image Tool จากโครงสร้างจุลภาคของโลหะกึ่งของแข็งที่เทลงใน Shot sleeve ที่อุณหภูมิค่าง ๆ พบว่าหลังจากที่เริ่มจุ่มแท่งกราไฟต์ลงไปที่อุณหภูมิ 600°C แล้วปล่อยให้ฟองก๊าซเล็ก ๆ ให้ลดลงสู่น้ำโลหะเป็นเวลา 20 วินาที ที่อุณหภูมิ Shot sleeve 250, 300 และ 350°C จะได้สัดส่วนของแข็ง (Solid fraction) 22.57, 19.90 และ 12.26 ตามลำดับ ดังแสดงในตารางที่ 4-1 ซึ่งพบว่าเมื่ออุณหภูมิ Shot sleeve ก่อนการเทสูง สัดส่วนของแข็งจะมีน้อยกว่า จะเห็นว่าการเพิ่มอุณหภูมิ Shot sleeve ให้สูงขึ้นก่อนการเท ทำให้อัตราการเย็นตัว (Cooling rate) ของโลหะต่ำลง ทำให้การเดินโดยของเกรนช้าลง

ที่อุณหภูมิ Shot sleeve เท่ากันแต่เวลาในการรอต่างกันจะทำให้โครงสร้างเกรนก้อนกลม (Spheroidal grain) มีจำนวนเพิ่มมากขึ้นและจะขยายใหญ่ขึ้นเมื่อเวลาในการรอมากขึ้นดังรูปที่ 4-9 เวลาในการรอที่เพิ่มขึ้นทำให้มีการแพร่ของอะตอมมากขึ้นส่งผลให้เกรนมีรูปร่างที่กลมขึ้นจากการกระบวนการ Grain Coarsening

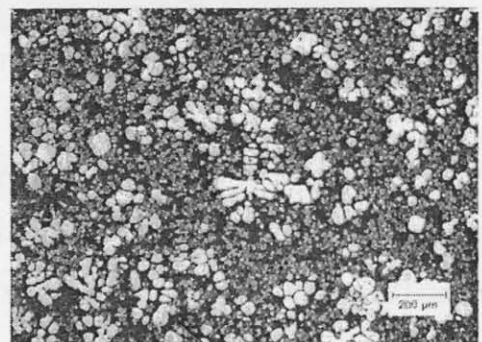
จากการทดลองที่ได้ทำให้ทราบถึงผลเบื้องต้นของอุณหภูมิของ Shot sleeve หรืออัตราการเย็นตัวของโลหะกึ่งของแข็งใน Shot sleeve ที่มีผลต่อโครงสร้างจุลภาค และสัดส่วนของแข็งที่เกิดขึ้น ซึ่งผลการทดลองนี้จะเป็นแนวทางในการศึกษาเพิ่มเติมต่อไปในอนาคต

ตารางที่ 4-1 แสดงผลสัดส่วนของแข็งที่ได้จากอุณหภูมิ Shot sleeve

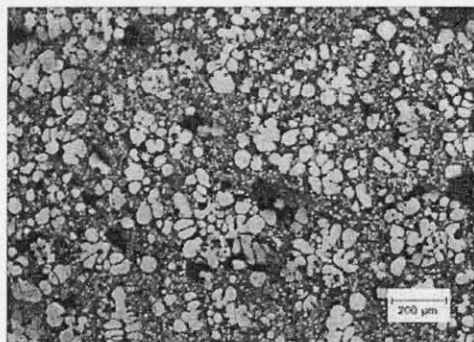
Test	อุณหภูมิเริ่มปล่อยก๊าซ (°C)	เวลาในการปล่อย ก๊าซ ( sec )	อุณหภูมิ Shot sleeve ( °C )	สัดส่วนของแข็ง (Solid fraction)
1	600	20	250	22.57
2	600	20	300	19.90
3	600	20	350	12.26



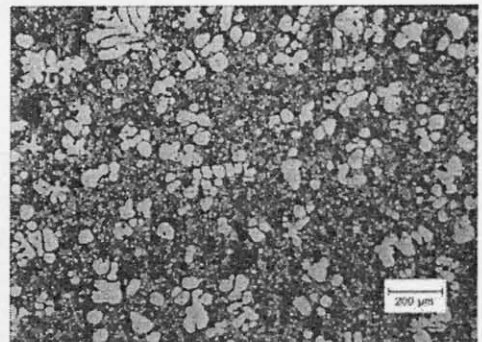
(n)



(u)



(v)



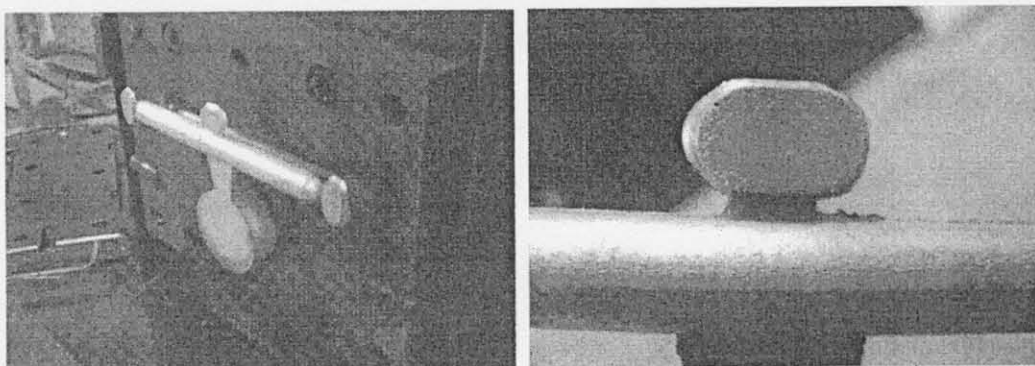
(w)

รูปที่ 4-9 โครงสร้างชุดภาคของโลหะอะลูมิเนียมผสม ADC10 ในกระบวนการหล่อโลหะกึ่งของแข็งที่ อุณหภูมิ Shot sleeve เท่ากัน (50x) (n) รอ 5 วินาที (u) รอ 15 วินาที (v) รอ 20 วินาที (w) รอ 25 วินาที

#### 4.2.2 การหล่อฉีดโลหะกึ่งของแข็ง (Semi-Solid Die Casting)

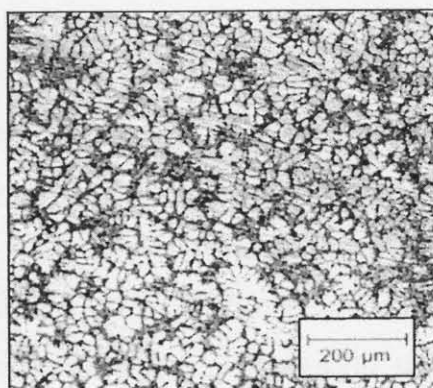
การศึกษาการขึ้นรูปโลหะกึ่งของแข็งด้วยแม่พิมพ์ Die Casting และวิเคราะห์พื้นผิวของชิ้นงานหลัง การฉีดขึ้นรูป ชิ้นงานจากการฉีดขึ้นรูปโลหะทั้งแบบโลหะกึ่งของแข็งและแบบน้ำโลหะทั่วไปแสดงในรูปที่ 4-38 ซึ่งจะเห็นว่าชิ้นงานที่หล่อได้จากกระบวนการฉีดโลหะแบบกึ่งของแข็งจะปรากฏเส้นการไหล (Flow line)

เพียงเล็กน้อยหรืออาจไม่ปรากฏเลย ทั้งนี้ด้วยประการที่สำคัญคือความเร็วที่ใช้ในการหล่อ และอุณหภูมิของแม่พิมพ์ (Mold Temperature)

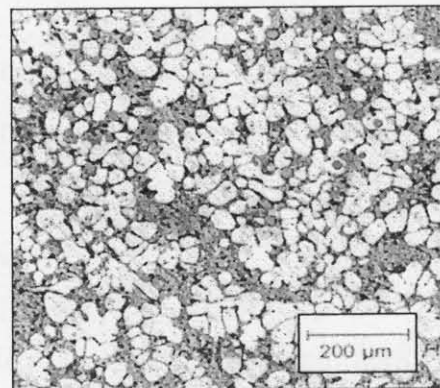


รูปที่ 4-10 แสดงลักษณะของชิ้นงานโลหะหลังการหล่อฉีด และพื้นผิวของชิ้นงาน

โครงสร้างจุลภาคของชิ้นงานที่ผลิตจากน้ำโลหะและโลหะกึ่งของแข็ง แสดงในรูปที่ 4-39 ซึ่งจะเห็นว่าชิ้นงานที่ได้มีโครงสร้างก้อนกลมเพียงเล็กน้อยซึ่งเป็นพระอาทิตย์โลหะมีสัดส่วนของแข็งน้อย และมีอัตราการเย็นตัวค่อนข้างสูงทำให้เกرنก้อนกลมบางส่วนได้แตกกลับไปเป็นเครนไครต์ (Dendrite) อีกครั้ง ผลการทดลองทำให้ทราบว่าสามารถขึ้นรูปโลหะกึ่งของแข็งแบบฉีด (Die Casting) ได้แต่ต้องควบคุมตัวแปรให้มากขึ้น เช่น อุณหภูมิของแม่พิมพ์และสัดส่วนของของแข็งเป็นต้น



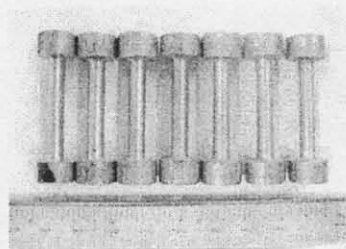
(ก)



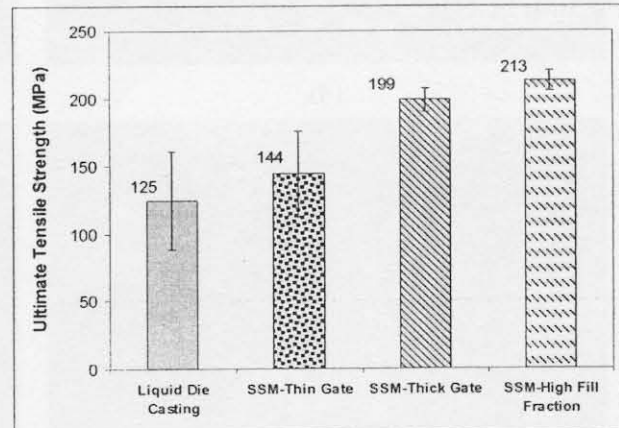
(ข)

รูปที่ 4-11 โครงสร้างจุลภาคของโลหะอะลูมิเนียมผสม ADC10 ในกระบวนการขึ้นรูปแบบฉีด (Die Casting) (100x) (ก) โครงสร้างจุลภาคชิ้นงานหล่อฉีดนำโลหะทั่วไป (ข) โครงสร้างจุลภาคของชิ้นงานหล่อฉีดนำโลหะแบบกึ่งของแข็ง

เมื่อเรานำชิ้นงานโลหะที่ผ่านกระบวนการหล่อฉีด(Die Casting) มาทดสอบความแข็งแรงคึ่งจะพบว่า ชิ้นงานที่ผ่านการหล่อฉีดแบบกึ่งของแข็ง (Semi-Solid Die Casting) มีค่าความแข็งแรงสูงกว่า  $(213 \pm 9)$  และมีส่วนเบี่ยงเบนมาตรฐานที่แคบกว่า ตั้งแต่ครั้งในรูปที่ 4-13 ดังนั้นสามารถสรุปได้ว่าการฉีดโลหะกึ่งของแข็งจะช่วยลดตำหนิ (Defect) ที่เกิดจากรูพรุนในเนื้อชิ้นงานลงได้



รูปที่ 4-12 ชิ้นงานคัวอย่าง

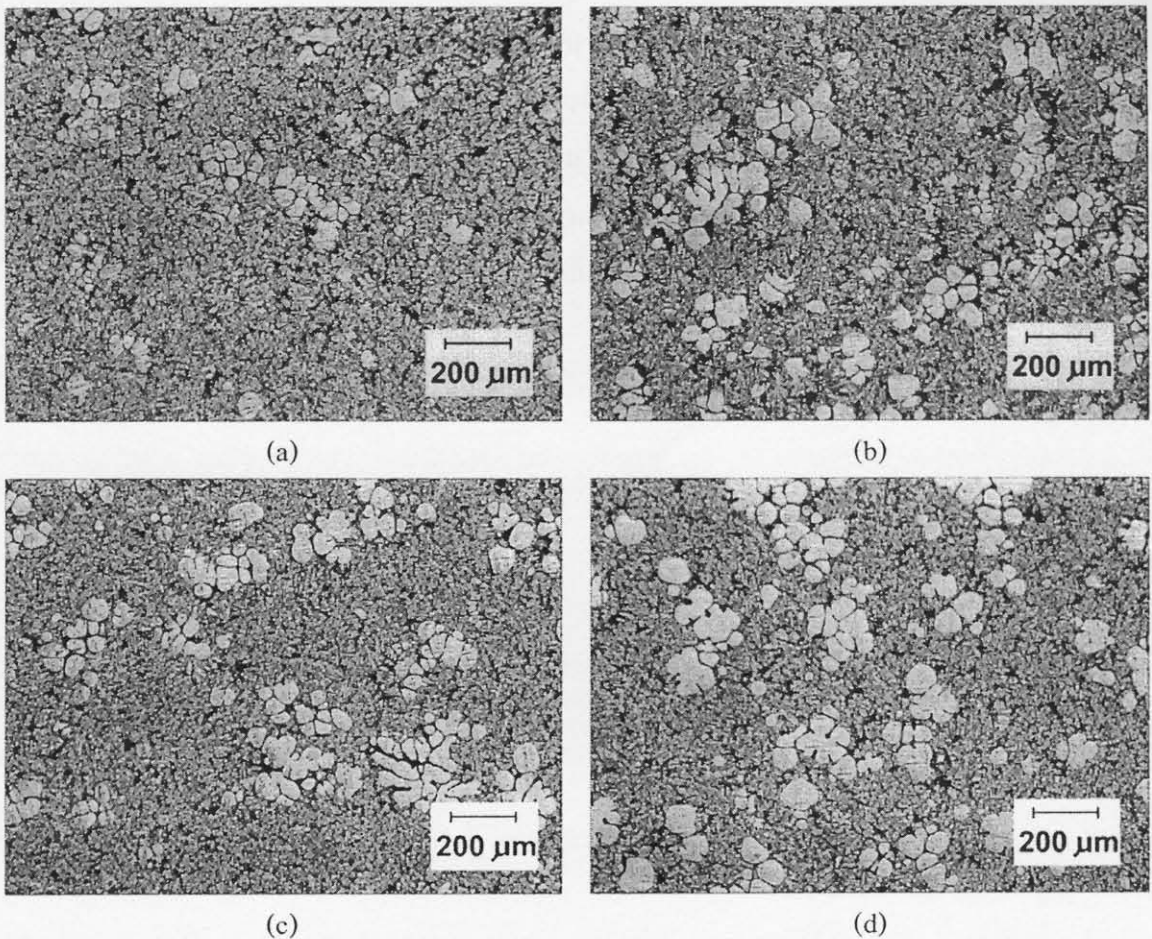


รูปที่ 4-13 ผลการทดสอบแรงคึ่งของชิ้นงาน

#### 4.2.3 การศึกษาสมบัติพื้นฐานของการผลิตโลหะกึ่งของแข็งด้วยกรรมวิธีปล่อยฟองแก๊สระหว่างการแข็งตัว

โดยนำภาพโครงสร้างจุลภาคที่ได้จากการถ่าย Optical Microscope และใช้โปรแกรม Photoshop ทำการแยกเฟสของของแข็งให้ชัดเจน จากนั้นใช้โปรแกรม Image Tool วิเคราะห์ขนาดอนุภาคเฉลี่ย และจำนวนอนุภาคเฉลี่ย

จากผลของขนาดอนุภาคเฉลี่ยและจำนวนอนุภาคเฉลี่ย โดยเมื่อพิจารณาที่อุณหภูมิจุ่ม  $620^{\circ}\text{C}$  และจุ่มถึงอุณหภูมิ  $610^{\circ}\text{C}$  (สัดส่วนของแข็ง 7%) และอุณหภูมิ  $608^{\circ}\text{C}$  (สัดส่วนของแข็ง 11%) พบร่วมน้ำดอนุภาคเฉลี่ยจะเพิ่มขึ้นเล็กน้อยจาก  $43.62 \mu\text{m}$  เป็น  $50.42 \mu\text{m}$  แต่จำนวนอนุภาคเฉลี่ยเพิ่มขึ้นเป็นอย่างมาก คือ จาก  $47 \text{ particle/mm}^2$  เพิ่มเป็น  $86 \text{ particle/mm}^2$  ซึ่งอธิบายได้ว่าน้ำดอนุภาคเฉลี่ยที่เพิ่มขึ้นเกิดจากการเดินโดยของอนุภาคตามเวลา และสัดส่วนของของแข็งที่เพิ่มมากขึ้น ซึ่งเป็นไปตามหลักของการ coarsening และเดินโดยของอนุภาคตามเวลา แต่สัดส่วนของของแข็งที่เพิ่มมากขึ้นอาจเกิดจากการที่แท่งกราไฟต์เย็น ทำให้เกิดการนิวคลีโอชันของอนุภาคขนาดเล็กจำนวนมาก และอนุภาคขนาดเล็กนี้อาจจะแตกตัวเพราะอัตราการไหลของแก๊สทำให้เกิดการพา (Convection) ขึ้น หรือจำนวนอนุภาคที่เพิ่มขึ้นอาจเกิดจากการที่จำนวนอนุภาคขนาดเล็กดังกล่าวถูกผลักออกจากพื้นผิวดونแท่งกราไฟต์ เนื่องจากแก๊สและเกิดการนิวคลีโอชันใหม่ที่ผิวอีกครั้ง จึงทำให้จำนวนอนุภาคเพิ่มขึ้น



รูปที่ 4-14 แสดงโครงสร้างทางชุลภาคของชิ้นงานที่ได้จากการปล่อยให้เย็นตัวในแม่พิมพ์ทองแดง กายหลังจากการปล่อยฟองแก๊สด้วยอัตรา 4.5 ลิตร/นาที ที่อุณหภูมิจุ่นและอุณหภูมิยก ที่แตกต่างกัน

(a) 620-610°C (b) 620-608°C (c) 670-610°C (d) 670-608°C

ตารางที่ 4-2 แสดงผลการวิเคราะห์เชิงปริมาณ จากชิ้นงานที่ได้จากแม่พิมพ์ทองแดง

การทดลอง	ขนาดอนุภาคเฉลี่ย (μm)	จำนวนอนุภาคเฉลี่ย (particle/mm <sup>2</sup> )	เวลาในการแข็งตัว (sec)
QG2F45-2010-C	43.62	47	35
QG2F45-2008-C	50.42	86	42
QG2F45-7010-C	53.87	40	40
QG2F45-7008-C	56.71	55	55

เมื่อพิจารณาที่อุณหภูมิจุ่น 670°C เมื่อจุ่นแท่งแกรไฟต์อุณหภูมิ 610°C (สัดส่วนของแข็ง 7%) และ อุณหภูมิ 608°C (สัดส่วนของแข็ง 11%) พบว่า ขนาดอนุภาคเฉลี่ยเพิ่มขึ้นเดือน้อยจาก 53.87 μm เป็น 56.71 μm และจำนวนอนุภาคเฉลี่ยเพิ่มขึ้นจาก 40 particle/mm<sup>2</sup> เป็น 55 particle/mm<sup>2</sup> ขนาดอนุภาคที่เดินໄต่ขึ้น

เป็นไปตามหลักของการ coarsening และเดิบโต ส่วนจำนวนอนุภาคที่เพิ่มขึ้นแต่ไม่นักนัก เนื่องจากอัตราการเข็นตัวในช่วงตัวกล่าวมีค่าต่ำ จึงทำให่อนุภาคเริ่มต้นที่เกิดขึ้นมีขนาดใหญ่ จึงทำให้การแตกหักของกิ่งเด่นไครค์เป็นไปได้ยาก จำนวนอนุภาคจึงเพิ่มขึ้น ไม่นักนัก หรือถ้าอธินายในทฤษฎีของการนิวเคลียร์ชัน กี สามารถลดอธินายได้ว่าเนื่องจากเท่งแกร ไฟฟ์มีความร้อนมากขึ้น ภายหลังจากที่สร้างสัดส่วนของแข็ง 7% แล้ว ทำให้อันเดอร์คูลลิงมีค่าต่ำ จึงทำให้อัตราการเกิดนิวเคลียร์ชันที่เท่งแกร ไฟฟ์ต่ำลงไปด้วย